

## บทที่ 4 ผลการศึกษาวิจัย

### 4.1 ผลการประเมินการนำของซากสุนัข

การนำของซากสุนัขแสดงด้วยค่าฐานนิยมจากผู้ประเมินที่เป็นคณาจารย์ผู้สอนวิชา โครงสร้างและการทำงานของร่างกาย 1-4 พบว่าอัตราการนำโดยรวมของซากสุนัขที่ใช้ป้ายรักษา สภาพซากกลุ่มที่ 4 (18/0.1) มีค่ามากกว่ากลุ่มควบคุม (0/10) อย่างมีนัยสำคัญทางสถิติ ( $P < 0.05$ ) ส่วนอัตราการนำของซากในกลุ่มที่ 2 (18/1) กลุ่มที่ 3 (25/1) และกลุ่มที่ 5 (25/0.1) ไม่แตกต่างจาก กลุ่มควบคุม (0/10) โดยพบการนำของซากสุนัขในกลุ่มที่ 4 (18/0.1) มากที่สุด (ตารางที่ 3) และไม่พบการนำของซากสุนัขในกลุ่มควบคุม (0/10) (รูปที่ 3)

เมื่อพิจารณาการนำของแต่ละอวัยวะ พบว่า ซากสุนัขในกลุ่มควบคุม (0/10) ไม่พบการนำ ในทุกอวัยวะ ซากสุนัขกลุ่มที่ 2 (18/1) พบว่าอวัยวะที่มีการนำมามากกว่าร้อยละ 50 ได้แก่ ผิวหนัง ปอด กระเพาะอาหาร ลำไส้ ตับอ่อน และไต ส่วนซากสุนัขกลุ่มที่ 3 (25/1) พบว่าอวัยวะที่มีการนำมา มากกว่าร้อยละ 50 ได้แก่ ผิวหนัง ตับ ลำไส้ ม้าม และไต ซากสุนัขกลุ่มที่ 4 (18/0.1) พบว่าอวัยวะที่มีการ นำมากกว่าร้อยละ 50 ได้แก่ ผิวหนัง ปอด หัวใจ กระเพาะอาหาร ตับ ลำไส้ ตับอ่อน ต่อมไทมัส ม้าม ไต กระเพาะปัสสาวะ และอวัยวะสืบพันธุ์ และซากสุนัขกลุ่มที่ 5 (25/0.1) พบว่าอวัยวะที่มีการ นำมากกว่าร้อยละ 50 คือ ผิวหนัง หลอดลม ตับ ลำไส้ ตับอ่อน ต่อมไทมัส ม้าม ไต และอวัยวะ สืบพันธุ์ (ตารางที่ 4)

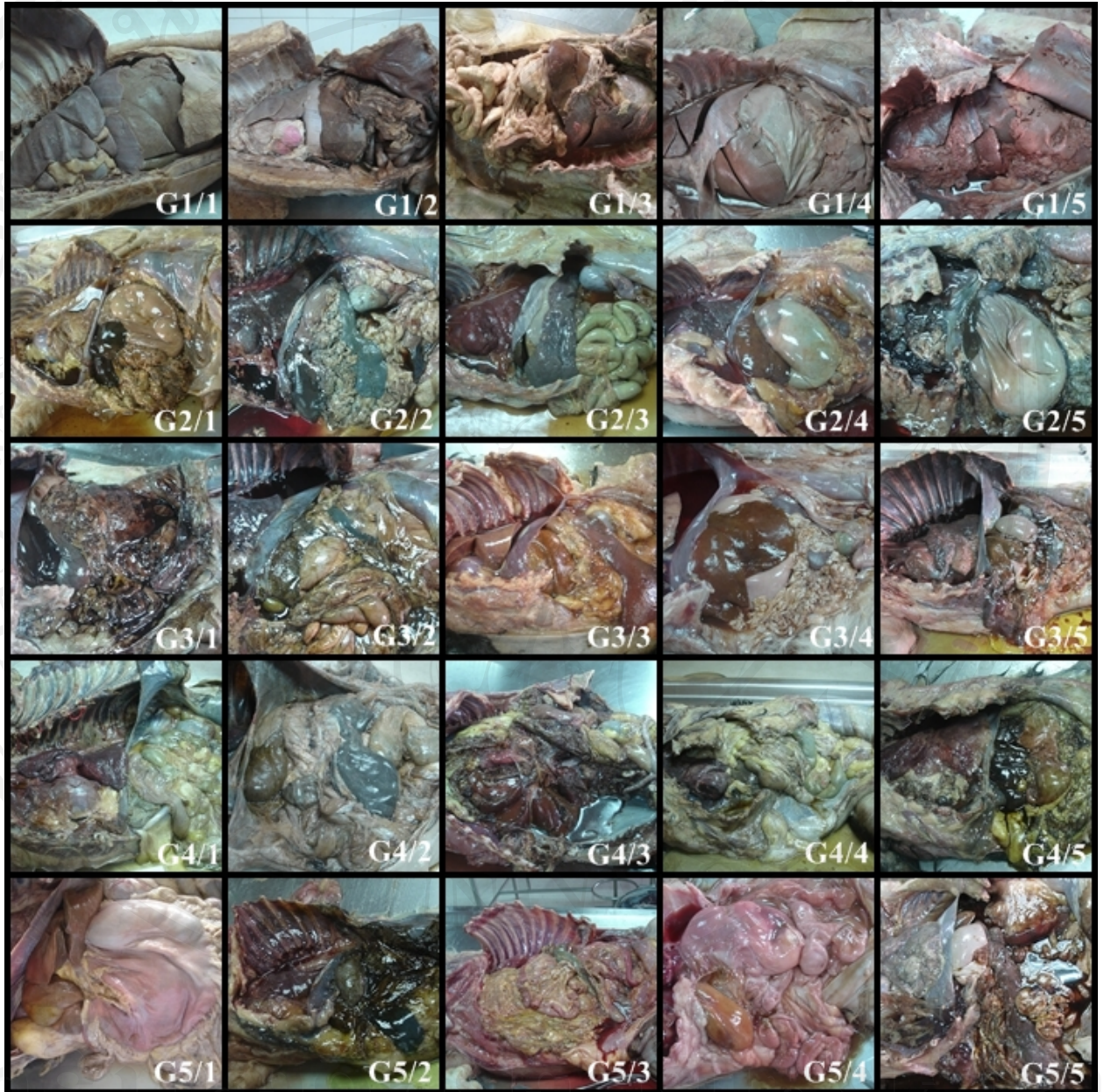
เมื่อนำข้อมูลการนำของอวัยวะมาวิเคราะห์ทางสถิติ พบว่า อัตราการนำของผิวหนัง ปอด ตับ ตับอ่อน และไต ในแต่ละกลุ่มแตกต่างกันอย่างมีนัยสำคัญทางสถิติ ( $P < 0.05$ ) โดยซากสุนัขกลุ่ม ที่ 2 (18/1) พบการนำสมบูรณ์ (ร้อยละ 100) ของผิวหนัง ซากสุนัขกลุ่มที่ 4 (18/0.1) พบการนำ สมบูรณ์ของผิวหนัง ตับ และไต ส่วนซากสุนัขกลุ่มที่ 5 (25/0.1) พบการนำสมบูรณ์ ของผิวหนัง ปอด และตับอ่อน ทั้งนี้พบว่าอวัยวะที่ไม่พบการนำของซากสุนัขในกลุ่มควบคุม (0/10) กลุ่มที่ 2 (18/1) และกลุ่มที่ 3 (25/1) ได้แก่ กล้ามเนื้อ หลอดลม หลอดเลือดแดงใหญ่ หลอดเลือด แดงขาหลัง หลอดเลือดดำขาหน้า ลิ้น ต่อมน้ำลาย หลอดอาหาร ต่อมไทรอยด์ ต่อมน้ำเหลือง กระดูกอก และกระดูกซี่โครง (ตารางที่ 4)

เมื่อทำการวิเคราะห์ข้อมูลเปรียบเทียบอัตราการเนาของซากสุนัขและการเนาของอวัยวะต่างๆ ทีละคู่ คือ กลุ่มที่ 2 (18/1) กับกลุ่มที่ 4 (18/0.1) กลุ่มที่ 3 (25/1) กับกลุ่มที่ 5 (25/0.1) กลุ่มที่ 2 (18/1) กับกลุ่มที่ 3 (25/1) และกลุ่มที่ 4 (18/0.1) กับกลุ่มที่ 5 (25/0.1) นั้น พบว่าไม่มีความแตกต่างกันทางสถิติในทุกคู่

ตารางที่ 3 แสดงค่าเฉลี่ยและส่วนเบี่ยงเบนมาตรฐานของร้อยละการเนาโดยรวมของซากสุนัข

กลุ่มน้ำยา	อัตราการเนาของซาก (Mean±SD)
1 (0/10)	0.00 <sup>b</sup> ±0.00
2 (18/1)	24.93 <sup>ab</sup> ±17.18
3 (25/1)	24.03 <sup>ab</sup> ±20.16
4 (18/0.1)	45.00 <sup>a</sup> ±32.76
5 (25/0.1)	34.93 <sup>ab</sup> ±9.10

<sup>a-b</sup> มีความแตกต่างกันอย่างมีนัยสำคัญที่ระดับความเชื่อมั่น <0.05



รูปที่ 3 แสดงภาพช่องอกและช่องท้องของซากสุนัขในกลุ่มต่างๆ (G หมายถึงกลุ่มการทดลอง ตัวอย่างเช่น G1/1 หมายถึง กลุ่มที่ 1 ตัวที่ 1)

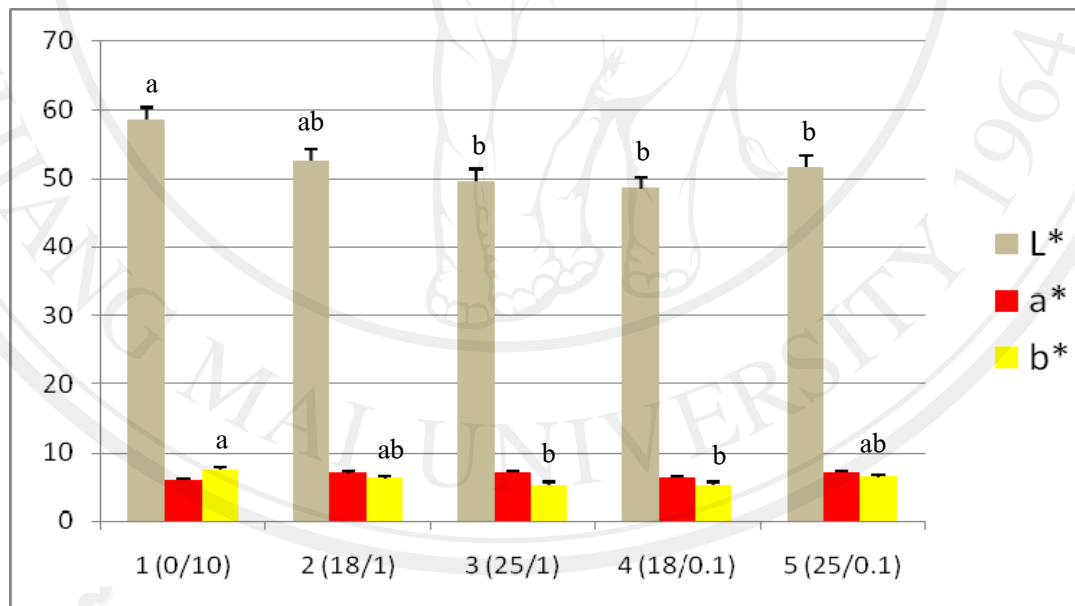
ตารางที่ 4 แสดงอัตราการเน่าของอวัยวะต่างๆ ของซากสุนัขในแต่ละกลุ่ม

อวัยวะ	อัตราการเน่าของอวัยวะ (เปอร์เซ็นต์)				
	กลุ่มที่ 1 (0/10)	กลุ่มที่ 2 (18/1)	กลุ่มที่ 3 (25/1)	กลุ่มที่ 4 (18/0.1)	กลุ่มที่ 5 (25/0.1)
ผิวหนัง*	0	100	60	100	100
กล้ามเนื้อ	0	0	0	20	20
หลอดลม	0	0	0	20	0
ปอด*	0	60	40	60	100
หัวใจ	0	20	20	60	0
หลอดเลือด Aorta	0	0	0	20	0
หลอดเลือด Femoral artery	0	0	0	20	0
หลอดเลือด Cephalic vein	0	0	0	20	0
ลิ้น	0	0	0	20	20
ต่อมน้ำลาย	0	0	0	20	0
หลอดอาหาร	0	0	0	20	20
กระเพาะอาหาร	0	60	40	60	40
ตับ*	0	40	60	100	80
ลำไส้	0	60	60	60	80
ตับอ่อน*	0	80	80	60	100
ต่อมไทรอยด์	0	0	0	20	0
ต่อมไทมัส	0	40	40	60	80
ม้าม	0	40	60	80	80
ต่อมน้ำเหลือง	0	0	0	20	0
ไต*	0	60	60	100	80
กระเพาะปัสสาวะ	0	40	40	80	20
อวัยวะสืบพันธุ์	0	33.3	50	75	66.7
กระดูอก	0	0	0	20	0
กระดูกซี่โครง	0	0	0	20	0
เส้นประสาท phrenic nerve	0	0	0	20	0

\*อวัยวะที่พบการเน่าแตกต่างกันอย่างมีนัยสำคัญทางสถิติที่ระดับความเชื่อมั่น &lt;0.05

#### 4.2 การประเมินสี (Color) ของกล้ามเนื้อ

การประเมินสีของกล้ามเนื้อโดยรวมได้มาจากการนำค่าการวัดสีของกล้ามเนื้อทั้งสี่มัด คือ กล้ามเนื้อ tricep brachii ส่วน long head และกล้ามเนื้อ tricep brachii ส่วน accessory head กล้ามเนื้อ bicep femoris และ กล้ามเนื้อ rectus femoris มารวมกันแล้วคำนวณค่าเฉลี่ย จากนั้นจึงนำค่าที่ได้ไปวิเคราะห์ข้อมูลทางสถิติ พบว่า ค่าความสว่าง ( $L^*$ ) ของซากสุนัขกลุ่มควบคุม (0/10) มีค่ามากกว่ากลุ่มที่ 3 (25/1) กลุ่มที่ 4 (18/0.1) และกลุ่มที่ 5 (25/0.1) อย่างมีนัยสำคัญทางสถิติ ( $P < 0.05$ ) (ตารางที่ 5) และค่าสีเหลือง ( $b^*$ ) ของซากสุนัขกลุ่มควบคุม (0/10) มีค่ามากกว่ากลุ่มที่ 3 (25/1) และกลุ่มที่ 4 (18/0.1) อย่างมีนัยสำคัญทางสถิติ ( $P < 0.05$ ) (ตารางที่ 7) ดังรูปที่ 4 ส่วนค่าสีแดง ( $a^*$ ) ไม่มีความแตกต่างกันในทุกกลุ่ม



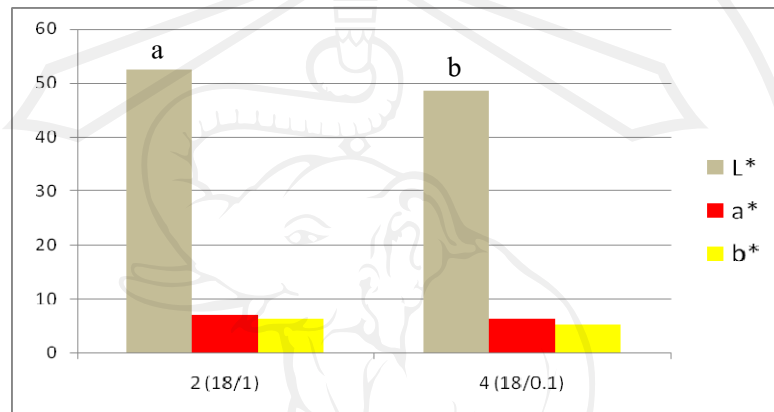
รูปที่ 4 แผนภูมิแท่งแสดงค่าเฉลี่ยของสีกล้ามเนื้อของซากสุนัขในกลุ่มต่างๆ

ตัวอักษรที่แตกต่างกัน (a,b) แสดงความแตกต่างอย่างมีนัยสำคัญ ( $P < 0.05$ )

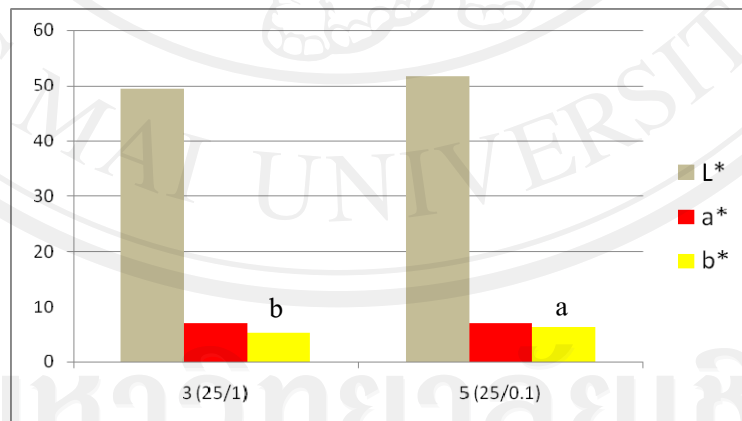
ระหว่างกลุ่มในกราฟสีเดียวกัน

เมื่อทำการวิเคราะห์เปรียบเทียบค่าสีของกล้ามเนื้อที่ละคู่ พบว่า ค่า  $L^*$  ของกลุ่มที่ 2 (18/1) มีค่ามากกว่ากลุ่มที่ 4 (18/0.1) อย่างมีนัยสำคัญทางสถิติ ( $P < 0.05$ ) (รูปที่ 5) และค่า  $b^*$  ของกลุ่มที่ 5

(25/0.1) มีค่ามากกว่ากลุ่มที่ 3 (25/1) อย่างมีนัยสำคัญทางสถิติ ( $P < 0.05$ ) (รูปที่ 6) ส่วนผลการวัดสีของกล้ามเนื้ออกกลุ่มที่ 2 (18/1) กับกลุ่มที่ 3 (25/1) และกลุ่มที่ 4 (18/0.1) กับกลุ่มที่ 5 (25/0.1) นั้นไม่มีความแตกต่างกัน



รูปที่ 5 แผนภูมิแท่งแสดงค่าเฉลี่ยของสีกล้ามเนื้ออกของซากสุนัขกลุ่มที่ 2 และกลุ่มที่ 4 ตัวอักษรที่แตกต่างกัน (a,b) แสดงความแตกต่างอย่างมีนัยสำคัญ ( $P < 0.05$ )



รูปที่ 6 แผนภูมิแท่งแสดงค่าเฉลี่ยของสีกล้ามเนื้ออกของซากสุนัขกลุ่มที่ 3 และกลุ่มที่ 5 ตัวอักษรที่แตกต่างกัน (a,b) แสดงความแตกต่างอย่างมีนัยสำคัญ ( $P < 0.05$ )

เมื่อพิจารณาผลการวัดสีของกล้ามเนื้อแต่ละมัด พบว่า ค่า L\* ของกล้ามเนื้อ tricep brachii ส่วน long head ของซากสุนัขกลุ่มควบคุม (0/10) มีค่ามากกว่ากลุ่มที่ 4 (18/0.1) อย่างมีนัยสำคัญทางสถิติ ( $P<0.05$ ) ส่วนค่า L\* ของกล้ามเนื้อ tricep brachii ส่วน accessory head ของซากสุนัขกลุ่มควบคุม (0/10) มีค่ามากกว่ากลุ่มที่ 2 (18/1) กลุ่มที่ 3 (25/1) และกลุ่มที่ 4 (18/0.1) ตามลำดับ อย่างมีนัยสำคัญทางสถิติ ( $P<0.05$ ) และค่า L\* ของกล้ามเนื้อ bicep femoris ของซากสุนัขกลุ่มควบคุม (0/10) มีค่ามากกว่ากลุ่มที่ 2 (18/1) กลุ่มที่ 4 (18/0.1) และกลุ่มที่ 3 (25/1) ตามลำดับอย่างมีนัยสำคัญทางสถิติ ( $P<0.05$ ) (ตารางที่ 5) นอกจากนี้พบว่าค่า a\* ของกล้ามเนื้อ tricep brachii ส่วน accessory head ของซากสุนัขกลุ่มควบคุม (0/10) มีค่ามากกว่ากลุ่มที่ 3 (25/1) อย่างมีนัยสำคัญทางสถิติ ( $P<0.05$ ) (ตารางที่ 6) และพบว่า ค่า b\* ของกล้ามเนื้อ tricep brachii ส่วน long head ของซากสุนัขกลุ่มควบคุม (0/10) มีค่ามากกว่ากลุ่มที่ 3 (25/1) อย่างมีนัยสำคัญทางสถิติ ( $P<0.05$ ) ส่วนค่า b\* ของกล้ามเนื้อ tricep brachii ส่วน accessory head ของซากสุนัขกลุ่มควบคุม (0/10) มีค่ามากกว่ากลุ่มที่ 4 (18/0.1) อย่างมีนัยสำคัญทางสถิติ ( $P<0.05$ ) (ตารางที่ 7)

ตารางที่ 5 แสดงค่าเฉลี่ยและส่วนเบี่ยงเบนมาตรฐานของค่าความสว่างของสี (L\*) ของกล้ามเนื้อ

กลุ่มน้ำยา	L* (Mean $\pm$ SD)				
	Tricep brachii- long head	Tricep brachii- accessory head	Bicep femoris	Rectus femoris	รวมกล้ามเนื้อ
1	60.55 <sup>a</sup> $\pm$ 3.45	56.49 <sup>c</sup> $\pm$ 3.09	60.28 <sup>e</sup> $\pm$ 3.14	56.72 $\pm$ 5.14	58.51 <sup>g</sup> $\pm$ 3.31
2	53.24 <sup>ab</sup> $\pm$ 1.96	49.89 <sup>d</sup> $\pm$ 3.14	54.21 <sup>f</sup> $\pm$ 7.59	52.73 $\pm$ 4.52	52.51 <sup>gh</sup> $\pm$ 2.97
3	52.57 <sup>ab</sup> $\pm$ 7.43	46.63 <sup>d</sup> $\pm$ 3.73	50.22 <sup>f</sup> $\pm$ 4.40	48.47 $\pm$ 4.30	49.47 <sup>h</sup> $\pm$ 4.96
4	50.09 <sup>b</sup> $\pm$ 4.27	45.00 <sup>d</sup> $\pm$ 3.05	50.23 <sup>f</sup> $\pm$ 2.43	48.59 $\pm$ 3.88	48.48 <sup>h</sup> $\pm$ 2.86
5	53.25 <sup>ab</sup> $\pm$ 3.21	51.10 <sup>cd</sup> $\pm$ 4.08	51.71 <sup>ef</sup> $\pm$ 3.90	50.17 $\pm$ 5.10	51.56 <sup>h</sup> $\pm$ 3.28

<sup>a-h</sup> ในสมรภูมิเดียวกันมีความแตกต่างกันอย่างมีนัยสำคัญที่ระดับความเชื่อมั่น  $<0.05$

ตารางที่ 6 แสดงค่าเฉลี่ยและส่วนเบี่ยงเบนมาตรฐานของค่าสี่แดง (a\*) ของกล้ามเนื้อ

กลุ่มน้ำยา	a* (Mean ± SD)				
	Tricep brachii- long head	Tricep brachii- accessory head	Bicep femoris	Rectus femoris	รวมกล้ามเนื้อ
1	5.19±0.40	6.85 <sup>a</sup> ±0.56	5.40±0.91	6.01±2.07	5.86±0.74
2	6.25±1.24	9.06 <sup>ab</sup> ±0.45	6.42±1.95	6.09±0.72	6.95±0.59
3	6.39±1.74	9.95 <sup>b</sup> ±1.45	5.83±0.54	6.19±1.00	7.09±0.87
4	6.16±1.95	7.44 <sup>ab</sup> ±2.23	5.56±1.13	5.72±0.38	6.22±1.10
5	5.80±2.37	8.01 <sup>ab</sup> ±2.05	5.41±1.81	5.94±1.28	7.04±3.17

<sup>a-b</sup> ในสดมภ์เดียวกันมีความแตกต่างกันอย่างมีนัยสำคัญที่ระดับความเชื่อมั่น <0.05

ตารางที่ 7 แสดงค่าเฉลี่ยและส่วนเบี่ยงเบนมาตรฐานของค่าสี่เหลือง (b\*) ของกล้ามเนื้อ

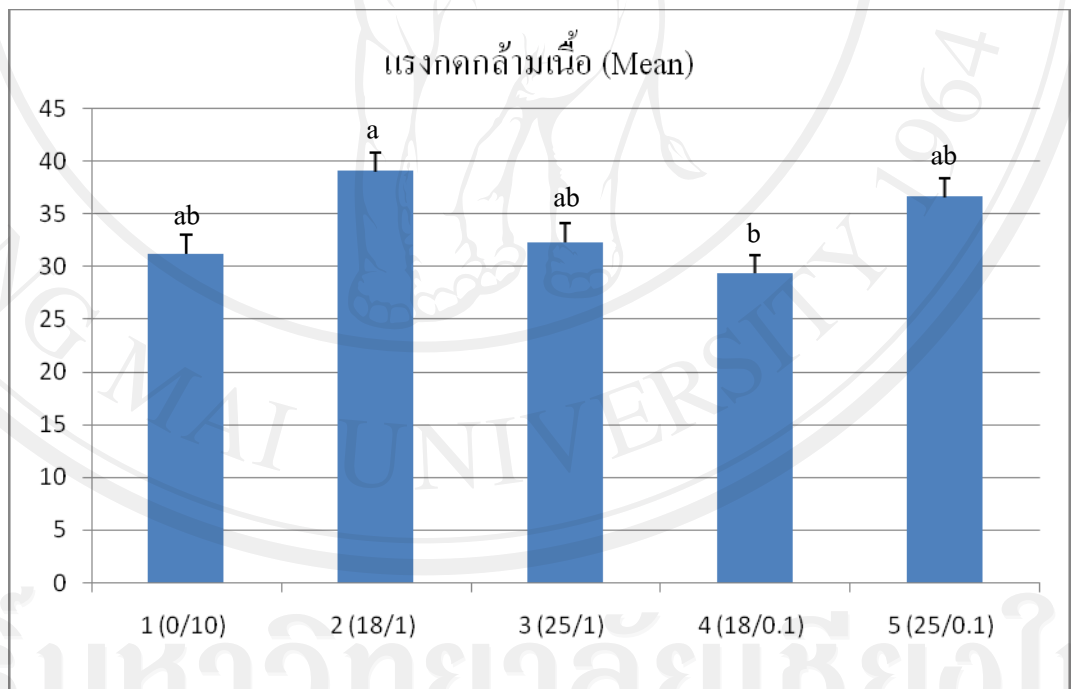
กลุ่มน้ำยา	b* (Mean ± SD)				
	Tricep brachii- long head	Tricep brachii- accessory head	Bicep femoris	Rectus femoris	รวมกล้ามเนื้อ
1	7.62 <sup>a</sup> ±1.24	9.29 <sup>c</sup> ±1.71	7.09±2.25	5.92±2.28	7.48 <sup>e</sup> ±1.52
2	4.85 <sup>ab</sup> ±1.94	8.38 <sup>cd</sup> ±1.57	5.53±2.52	5.84±2.06	6.15 <sup>ef</sup> ±1.03
3	4.16 <sup>a</sup> ±0.63	7.10 <sup>cd</sup> ±1.35	4.85±1.21	4.91±0.94	5.25 <sup>f</sup> ±0.48
4	5.7 <sup>ab</sup> ±2.13	6.09 <sup>d</sup> ±1.96	4.64±2.18	4.58±1.69	5.25 <sup>f</sup> ±0.84
5	5.61 <sup>ab</sup> ±1.86	8.89 <sup>cd</sup> ±0.61	5.60±1.40	5.38±1.41	6.37 <sup>ef</sup> ±1.15

<sup>a-f</sup> ในสดมภ์เดียวกันมีความแตกต่างกันอย่างมีนัยสำคัญที่ระดับความเชื่อมั่น <0.05



#### 4.3 การประเมินผิวสัมผัส (Texture) ของกล้ามเนื้อ

การประเมินผิวสัมผัสหรือค่าแรงกดกล้ามเนื้อโดยรวม ได้มาจากการนำค่าการวัดแรงกดกล้ามเนื้อทั้งสี่มัด คือ กล้ามเนื้อ tricep brachii ส่วน long head กล้ามเนื้อ tricep brachii ส่วน accessory head กล้ามเนื้อ bicep femoris และ กล้ามเนื้อ rectus femoris มารวมกันแล้วคำนวณค่าเฉลี่ย จากนั้นจึงนำค่าที่ได้ไปวิเคราะห์ข้อมูลทางสถิติ พบว่า ค่าแรงกดของซากสุนัขโดยรวมที่ใช้ น้ำยารักษาสภาพทั้ง 5 กลุ่มนั้นไม่มีความแตกต่างกัน แต่เมื่อวิเคราะห์ค่าแรงกดกล้ามเนื้อทีละคู่ พบว่า ค่าแรงกดกล้ามเนื้อของซากสุนัขกลุ่มที่ 2 (18/1) มีค่ามากกว่ากลุ่มที่ 4 (18/0.1) อย่างมีนัยสำคัญทางสถิติ ( $P < 0.05$ ) (รูปที่ 7) ส่วนกลุ่มที่ 3 (25/1) กับกลุ่มที่ 5 (25/0.1) กลุ่มที่ 2 (18/1) กับกลุ่มที่ 3 (25/1) และ กลุ่มที่ 4 (18/0.1) กับกลุ่มที่ 5 (25/0.1) นั้นไม่มีความแตกต่างกัน



รูปที่ 7 แผนภูมิแท่งแสดงค่าเฉลี่ยของแรงกดกล้ามเนื้อของซากสุนัขแต่ละกลุ่ม แสดงความแตกต่างเมื่อเปรียบเทียบกลุ่มที่ 2 และกลุ่มที่ 4

ตัวอักษรที่แตกต่างกัน (a,b) แสดงความแตกต่างอย่างมีนัยสำคัญ ( $P < 0.05$ )

เมื่อพิจารณาค่าแรงกดของกล้ามเนื้อแต่ละมัด พบว่า ค่าแรงกดของกล้ามเนื้อ tricep brachii ส่วน accessory head ของซากสุนัขกลุ่มควบคุม (0/10) มีค่ามากกว่ากลุ่มที่ 2 (18/1) และกลุ่มที่ 4 (18/0.1) อย่างมีนัยสำคัญทางสถิติ ( $P<0.05$ ) และค่าแรงกดของกล้ามเนื้อ rectus femoris ของซากสุนัขกลุ่มที่ 2 (18/1) มีค่ามากกว่ากลุ่มที่ 4 (18/0.1) อย่างมีนัยสำคัญทางสถิติ ( $P<0.05$ ) (ตารางที่ 8)

ตารางที่ 8 แสดงการค่าเฉลี่ยและส่วนเบี่ยงเบนมาตรฐานของแรงกดกล้ามเนื้อ (นิวตัน/ตารางมิลลิเมตร)

กลุ่ม	ค่าแรงกดกล้ามเนื้อ (Mean±SD)				รวมกล้ามเนื้อ
	Tricep brachii-long head	Tricep brachii-accessory head	Bicep femoris	Rectus femoris	
1	21.38±12.80	44.70 <sup>a</sup> ±11.77	27.67±14.44	30.94 <sup>cd</sup> ±10.59	31.18±7.83
2	30.12±21.03	27.91 <sup>b</sup> ±6.68	50.71±17.07	47.26 <sup>c</sup> ±7.16	39.00±7.68
3	17.81±7.31	37.12 <sup>ab</sup> ±5.24	37.35±17.64	36.76 <sup>cd</sup> ±18.40	32.26±10.27
4	23.93±16.53	26.31 <sup>b</sup> ±8.22	43.35±19.61	23.25 <sup>d</sup> ±8.13	29.31±4.79
5	32.22±10.93	31.69 <sup>ab</sup> ±9.36	47.66±12.15	34.65 <sup>cd</sup> ±9.29	36.56±7.70

<sup>a-d</sup> ในสัณฐานเดียวกันแตกต่างกันอย่างมีนัยสำคัญทางสถิติ ที่ระดับความเชื่อมั่น  $<0.05$

#### 4.4 การประเมินความพึงพอใจของผู้ใช้ซาก

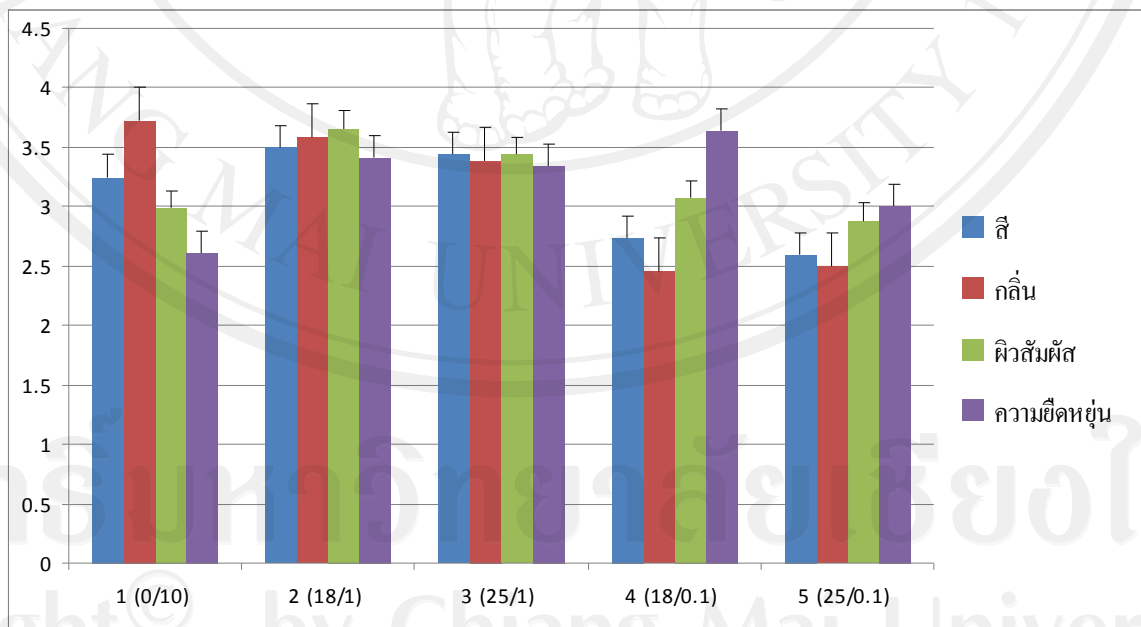
ผลการประเมินความพึงพอใจของผู้ใช้ซากพบว่า ระดับความพึงพอใจของผู้ใช้ซากต่อลักษณะทางกายภาพ ได้แก่ สี กลิ่น ผิวสัมผัส และความยืดหยุ่น ของซากจากทุกกลุ่มมีความแตกต่างกันในแต่ละกลุ่มอย่างมีนัยสำคัญทางสถิติ ( $P<0.05$ ) ของแต่ละลักษณะ (รูปที่ 8) โดยระดับความพึงพอใจต่อสีของซากสุนัขพบว่า ผู้ประเมินมีความพึงพอใจต่อสีของซากสุนัขกลุ่มที่ 2 (18/1) มากที่สุด ( $P<0.05$ ) โดยระดับความพึงพอใจต่อสีของซากสุนัขกลุ่มที่ 2 (18/1) และกลุ่มที่ 3 (25/1) อยู่ในระดับมาก รองลงมาคือ กลุ่มที่ควบคุม (0/10) กลุ่มที่ 4 (18/0.1) และกลุ่มที่ 5 (25/0.1) ตามลำดับ โดยมีระดับความพึงพอใจระดับปานกลาง (ตารางที่ 9)

ระดับความพึงพอใจต่อกลิ่นของซากสุนัข พบว่า ผู้ประเมินมีความพึงพอใจต่อกลิ่นของซากในกลุ่มควบคุม (0/10) มากที่สุด ( $P<0.05$ ) โดยระดับความพึงพอใจต่อกลิ่นของซากในกลุ่ม

ควบคุม (0/10) และกลุ่มที่ 2 (18/1) อยู่ในระดับมาก รองลงมาคือ กลุ่มที่ 3 (25/1) อยู่ในระดับ ปานกลาง กลุ่มที่ 5 (25/0.1) อยู่ในระดับ น้อย และผู้ประเมินไม่พึงพอใจต่อกลิ้นของชาкусุนัขในกลุ่มที่ 4 (18/0.1) (ตารางที่ 9)

ระดับความพึงพอใจต่อผิวสัมผัสของชาкусุนัข พบว่า ผู้ประเมินมีความพึงพอใจต่อผิวสัมผัสของชาкусุนัขในกลุ่มที่ 2 (18/1) มากที่สุด ( $P < 0.05$ ) โดยระดับความพึงพอใจต่อกลิ้นของชาкусุนัขในกลุ่มที่ 2 (18/1) กลุ่มที่ 3 (25/1) และกลุ่มที่ 4 (18/0.1) อยู่ในระดับมาก ส่วนกลุ่มควบคุม (0/10) และกลุ่มที่ 5 (25/0.1) อยู่ในระดับปานกลาง (ตารางที่ 9)

ระดับความพึงพอใจต่อความยืดหยุ่นของชาкусุนัข พบว่า ผู้ประเมินมีความพึงพอใจต่อความยืดหยุ่นของชาкусุนัขในกลุ่มที่ 2 (18/1) มากที่สุด ( $P < 0.05$ ) โดยระดับความพึงพอใจต่อความยืดหยุ่นของชาкусุนัขในกลุ่มที่ 2 (18/1) กลุ่มที่ 3 (25/1) และกลุ่มที่ 4 (18/0.1) อยู่ในระดับมาก รองลงมาคือ กลุ่มที่ 5 (25/0.1) อยู่ในระดับปานกลาง และกลุ่มควบคุม(0/10) อยู่ในระดับน้อย (ตารางที่ 9)



รูปที่ 8 แผนภูมิแท่งแสดงค่าเฉลี่ยความพึงพอใจของผู้ใช้ชาкусุนัขโดยแต่ละกลุ่มมีความแตกต่างกันของแต่ละลักษณะ (สี กลิ่น ผิวสัมผัส และความยืดหยุ่น) อย่างมีนัยสำคัญ ( $P < 0.05$ )

ตารางที่ 9 แสดงค่าเฉลี่ย ส่วนเบี่ยงเบนมาตรฐาน และฐานนิยมของระดับความพึงพอใจของผู้ใช้ชาค  
สุนัข

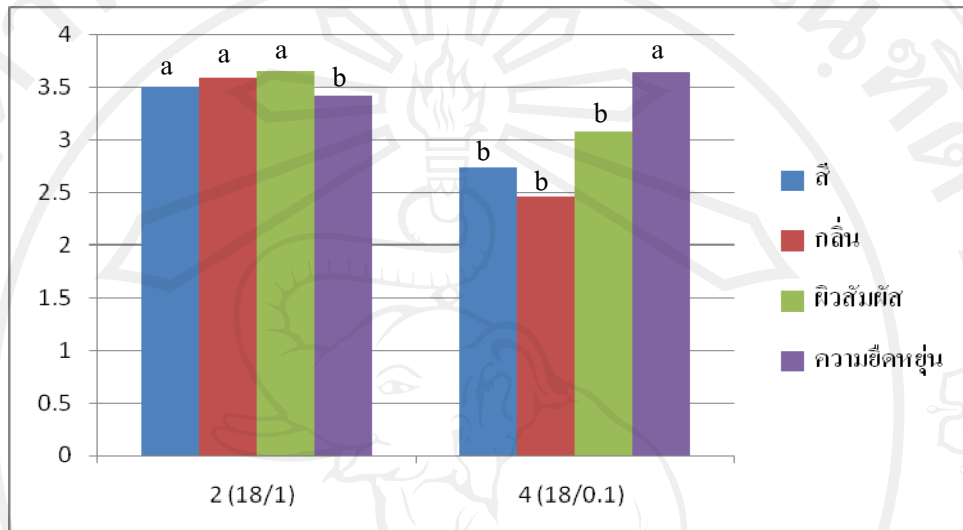
กลุ่มที่	ระดับความพึงพอใจ*							
	สี่		กลืน		ผิวสัมผัส		ความยืดหยุ่น	
	(Mead±SD)	Mode	(Mead±SD)	Mode	(Mead±SD)	Mode	(Mead±SD)	Mode
1	3.25±0.94	3	3.73±0.89	4	2.99±0.91	3	2.61±1.10	2
2	3.50±0.99	4	3.59±0.99	4	3.66±0.94	4	3.42±0.99	4
3	3.44±0.97	4	3.39±0.96	3	3.44±0.93	4	3.34±0.92	4
4	2.73±1.13	3	2.46±1.22	1	3.07±1.28	4	3.64±1.21	4
5	2.60±1.02	3	2.50±1.16	2	2.88±1.17	3	3.01±1.28	3

\*ระดับความพึงพอใจมี 5 ระดับ คือ มากที่สุด (5) มาก (4) ปานกลาง (3) น้อย (2) และไม่พึงพอใจ (1)

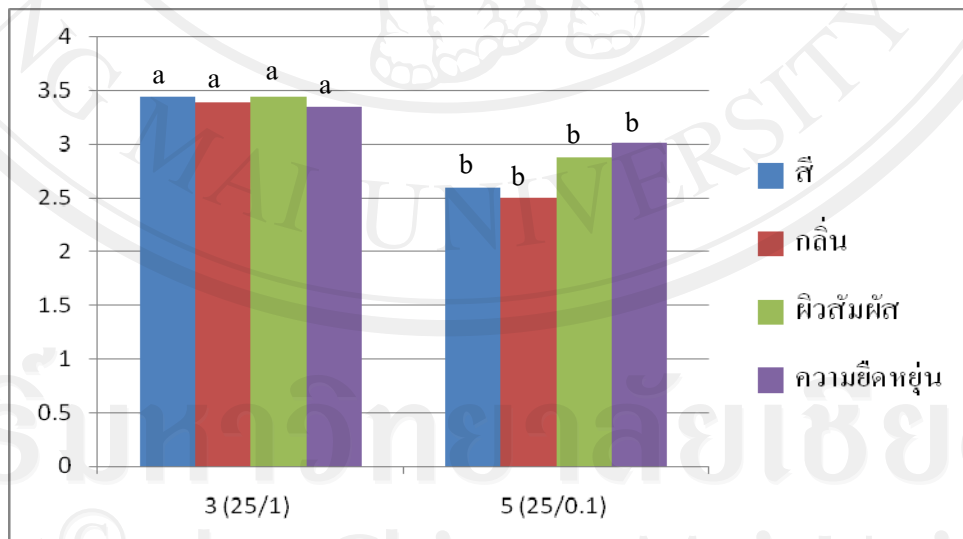
โดยแต่ละลักษณะมีความแตกต่างกันอย่างมีนัยสำคัญทางสถิติที่ระดับความเชื่อมั่น < 0.05

เมื่อทำการเปรียบเทียบระดับความพึงพอใจที่แต่ละคู่ พบว่า กลุ่มที่ใช้ น้ำยารักษาสภาพซากที่มีปริมาณฟอร์มาลินแตกต่างกันแต่เกลือแกงเท่ากันนั้น มีระดับความพึงพอใจของผู้ใช้ชาคต่อลักษณะ สี่ กลืน และผิวสัมผัสของซากกลุ่มที่ 2 (18/1) มีค่ามากกว่ากลุ่มที่ 4 (18/0.1) อย่างมีนัยสำคัญทางสถิติ ( $P < 0.05$ ) แต่ระดับความพึงพอใจต่อความยืดหยุ่นของซากกลุ่มที่ 4 (18/0.1) มีค่ามากกว่ากลุ่มที่ 2 (18/1) อย่างมีนัยสำคัญทางสถิติ ( $P < 0.05$ ) (รูปที่ 9) ส่วนระดับความพึงพอใจของผู้ใช้ชาคต่อลักษณะสี่ กลืน ผิวสัมผัส และความยืดหยุ่นของซากกลุ่มที่ 3 (25/1) มีค่ามากกว่ากลุ่มที่ 5 (25/0.1) อย่างมีนัยสำคัญทางสถิติ ( $P < 0.05$ ) (รูปที่ 10)

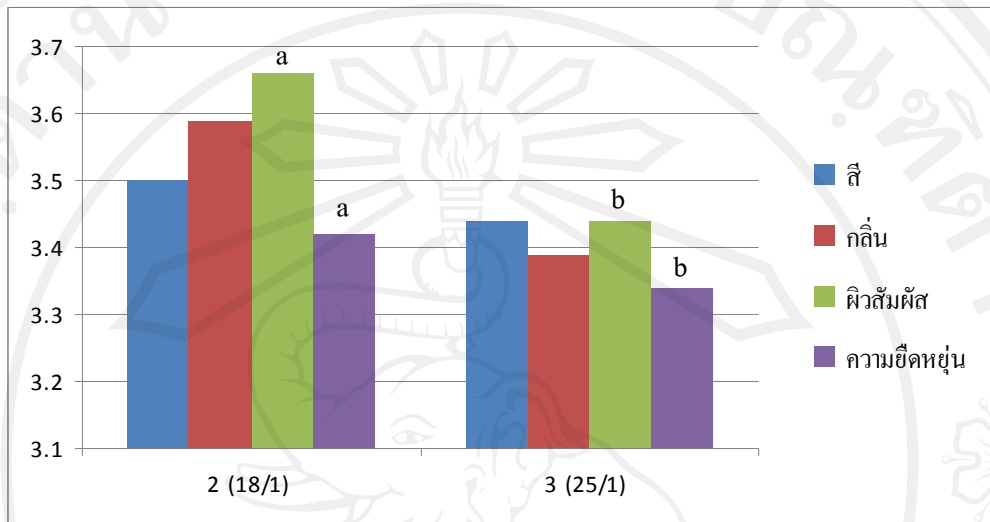
ส่วนกลุ่มที่ใช้ น้ำยารักษาสภาพซากที่มีปริมาณเกลือแกงแตกต่างกันแต่ฟอร์มาลินเท่ากันนั้น พบว่า ระดับความพึงพอใจของผู้ใช้ชาค ต่อลักษณะ ผิวสัมผัส และความยืดหยุ่นของซากกลุ่มที่ 2 (18/1) มีค่ามากกว่ากลุ่มที่ 3 (25/1) (รูปที่ 11) และกลุ่มที่ 4 (18/0.1) มีค่ามากกว่ากลุ่มที่ 5 (25/0.1) (รูปที่ 12) อย่างมีนัยสำคัญทางสถิติ ( $P < 0.05$ )



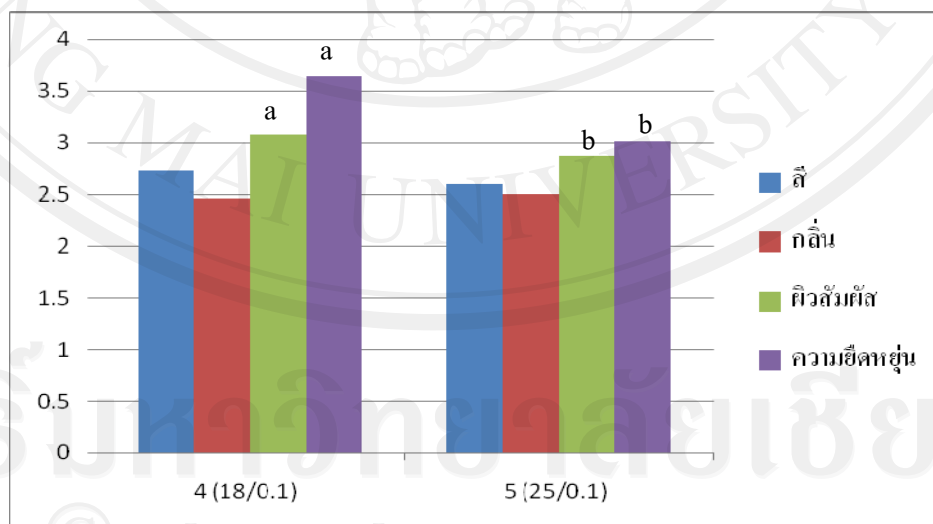
รูปที่ 9 แผนภูมิแท่งแสดงการเปรียบเทียบค่าเฉลี่ยความพึงพอใจของผู้ใช้ชาต่อสี กลิ่น ผิวสัมผัส และความยืดหยุ่นของชาสมุนไพรกลุ่มที่ 2 กับกลุ่มที่ 4 ตัวอักษรที่แตกต่างกัน (a,b) แสดงความแตกต่างอย่างมีนัยสำคัญ ( $P < 0.05$ )



รูปที่ 10 แผนภูมิแท่งแสดงการเปรียบเทียบค่าเฉลี่ยความพึงพอใจของผู้ใช้ชาต่อสี กลิ่น ผิวสัมผัส และความยืดหยุ่นของชาสมุนไพรกลุ่มที่ 3 กับกลุ่มที่ 5 ตัวอักษรที่แตกต่างกัน (a,b) แสดงความแตกต่างอย่างมีนัยสำคัญ ( $P < 0.05$ )



รูปที่ 11 แผนภูมิแท่งแสดงการเปรียบเทียบค่าเฉลี่ยความพึงพอใจของผู้ใช้ชาต่อสี กลิ่น ผิวสัมผัส และความยืดหยุ่นของชาคัสโน้ชกลุ่มที่ 2 (18/1) กับกลุ่มที่ 3 (25/1) ตัวอักษรที่แตกต่างกัน (a,b) แสดงความแตกต่างอย่างมีนัยสำคัญ ( $P < 0.05$ )



รูปที่ 12 แผนภูมิแท่งแสดงการเปรียบเทียบค่าเฉลี่ยความพึงพอใจของผู้ใช้ชาต่อสี กลิ่น ผิวสัมผัส และความยืดหยุ่นของชาคัสโน้ชกลุ่มที่ 4 กับกลุ่มที่ 5 ตัวอักษรที่แตกต่างกัน (a,b) แสดงความแตกต่างอย่างมีนัยสำคัญ ( $P < 0.05$ )